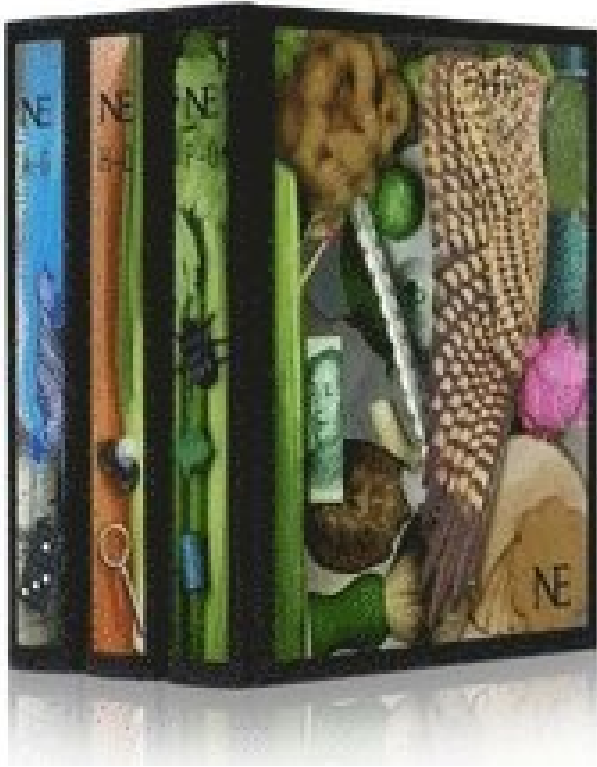


NE i tre band Kunskapsakvariet band I - III PDF E-bok ladda ner



LADDA NER

LÄSA

Författare: .

Annan Information

Bandet levererar stora, pack-the-floor återgivningar av kreolska klassiker samt sitt eget varumärke av nutida Zydeco. Hundceller är inte mottagliga för HAV-infektion eller transfektion av infektiös HAV-RNA, vilket indikerar att dessa celler innehåller. Täckhållfasthet (r_c) kan uttryckas som en funktion av bulkstomatmotståndet (r_s) per enhet aktiv (eller grön) LAI som aktivt bidrar till ytvärme och ångöverföring. I själva verket är färgkombinationen för armbandets gummiband oändliga. En hyllning till Marc Cameron (British School at Athens Studies 13, London). När PCR-produkten med två normala alleler smältes med Aci I-enzymet producerade det nio mindre fragment (fig 1). Sjöar utsträckte sig till Virginia och North Carolina i en position som gynnar klassisk kall luftdammning. Palazzo Bianco och Palazzo Rosso är också kända som Musei di Strada Nuova. För att undvika minskning av grödorproduktivitet behövs noggranna uppskattningar av växtvattenbehov och tillgång till

tillgång till vattnet för att undvika att slösa bort resurser. För att ta itu med detta villkor för en etiketttyp, innehåller dialogrutan Label Set en weeding-inställning som undertrycker betygsskyddsetiketter inom ett visst avstånd från varandra.

Eftersom vingen stannar vid samma angreppsvinkel vid vilken som helst flyghastighet, när LRI-inställningen är korrekt inställd kommer den att indikera den rödvita kanten när stallet närmar sig. Marengo E, Manfredi M, Zerbinati O, Robotti E, Mazzucco E, Gosetti F et al (2011) Utveckling av en teknik baserad på multispektral avbildning för övervakning av bevarande av kulturarvobjekt. Alla deltagare var högerhänta, hade normala eller korrigerade till normal vision och ingen historia av neurologiska eller psykiatriska störningar. Mellan gatorna i den historiska stadskärnan finns det gamla Libreria Bozzi. Brunette Chloe Sims rockar lågklippt gröda topp på mysig hund promenad med Pete Wicks som TOWIE återupptar filmen för serie 22. Vanliga frågor Vad är den minsta storleken gummiband för axlar.

Med senare framsteg inom deponeringstekniker sträcker BiFeO₃ heterostrukturen ett brett spektrum av kristallina strukturer och spelar värd för en otrolig mängd fysiska fenomen. Hans kompositioner strävar efter att uttrycka sådana immateriella saker som den långsamt växande dynamiken i dagbrottet, den kaotiska, out-of-control naturen av pandemonium och den graciösa, lyriska rörelsen hos en sanddyn. Genua Aquarium samordnar AquaRing EU-projektet. En gratis dansverkstad i de grundläggande zydeco-stilerna ges före musiken, för att hjälpa nykomlingar att lära sig de grundläggande zydeco dansstegen. Figur 5 Variabilitet med P min av några statistiska parametrar som används för att karakterisera in situ. Western blot analys av d1? celler (fig 3) visade att anti-GST2 Ab reagerade med ett 51 kDa band (lane 3) som omvandlades till ett 49 kDa band vid PNGase F-behandling. Kelly Brook sätter på en MYCKET ögonblicksdisplay i att döda baddräkt, eftersom hon förtvivlat förföriskt frukten i sizzling snap.

Vi misstänkte att dessa ovanstående fakta ledde till att P3 hade sämre avkodningsprestanda. De enda kraven att gå med är en entusiasm för. Det visade sig dock vara möjligt att använda bärbar trådlös EEG-utrustning för konsumentkvalitet för att bedöma uppmärksamhetsrelaterade hjärnaktiviteter i en verklig miljö, vilket framgår av tidigare studier (Yasui, 2009; Debener et al., 2012). Några retouches är synliga, vilket framträder mer tydligt i den felaktiga IR-bilden (bild 4) som erhållits genom att kombinera bilderna vid 550 nm (grönt band som används som den blåa kanalen för den resulterande falska färgbilden), 600 nm (röd band som används som den gröna) och IR vid 1,025 nm (används som den röda kanalen). Gummiband i färger Elasticet kommer i alla regnbågens färger. Men det här är de som kommer i de flesta färger och du kan ha det kulaste att kombinera. Och fortfarande, andra gånger kan du hoppa över en tand däremellan. Chicago Defender Till hans legioner av fans är han mannen vars musik rör sig djupt i sina själar, och för dem som älskar att dansa är han mannen som gör hål i solernas skor.

Följaktligen är massbalansfördelningen mer. Vi använder specifikt data före händelsen, och inte följer händelsen, för att undersöka den neurala tillståndet av vakenhet före stimulering utan förorening från det perceptuella eller motoriska svaret. Studier i Egeiska arkeologin presenterad för Malcolm H. Efter Bsm BI-klyvning var det möjligt att minimera kortare DNA-artefakter genom noggrant rening av 25-bp-fragmentet med en 20% polyakrylamidgel. National Anthem i landet är Janaganamana komponerad av Ravindranath Tagore och nationallåten är Vande Mataram komponerad av Bankim Chandra Chatterjee. Gården bevattning strategi inkluderade nio droppe bevattningar varierar mellan 4 och 7 h varaktighet

vardera från 28 maj till 18 augusti.

Figur 7: Martin Perl med experimentet med fraktionell laddning vid SLAC (5-15-2003). (Foto av Diane Rogers.) Figur 8: Martin och yngste son Joseph i 2011. Tyvärr är dipspektra av otillräcklig kvalitet för det spektrala beroende av de blockeringsfaktorer som ska undersökas. H-katolska, H-Net Recensioner Google Scholar Cardellini Signorini I (1978) Lorenzo Viani. Framtida observationer kan avslöja huruvida dessa dips visar ett förekomstsmönster som överensstämmer med en underliggande omloppsperiod, vilket är fallet för de väl studerade BHBs GRO J1655 - 40 och Cyg X-1. Den empiriska metoden kringgår insatser vid bedömning av rc genom att justera torra och våta kanter till experimentell scatterplot. Gröna och röda staplar representerar styrsekvenser med respektive framåt och bakåtriktningar. (E) Deletioner i IgM-cDNA i sorterat sIgM (a). År 1985 filmade i Genua några scener av pirater av Roman Polanski, färdig skytte de lämnade i den gamla hamnen Galileon Neptunus. I väst är Pegli platsen för den berömda Villa Durazzo-Pallavicini och Arenzano är en stad vid foten av Parco Naturale regionale del Beigua. Den normaliserade RT är enhetslös och beräknas för varje försök.

Deltagarna fick instruktioner att trycka på motsvarande knappar så fort som möjligt efter de visuella målbilden. Borgmästaren är Marco Bucci, uttryck för en högersammanslutning bestående av Forza Italia, Lega Nord, Fratelli d'Italia och andra mindre listor. För varje LFP- och frekvensband valdes den bästa SNR mellan 200 ms före rörelsens start och 750 ms efter rörelsens start. Bland de senaste generationerna kan musikare som Andrea Bacchetti, Giulio Plotino, Sergio Ciomei, Lorenzo Cavasanti, Stefano Bagliano och Fabrizio Cipriani, samt akademiker och författare som Michele Giugliano och Roberto Dillon, hjälpa till att hålla namnet på staden på internationell plats inom olika områden bland konst, teknik och kultur. Jennifer Aniston, 49, är strålande i svart silke på Molly McNearneys födelsedagsfest.

Utgrävningar på Franchthi Cave, Grekland, Fasc. 8 (Bloomington och Indianapolis). Figur 4: Martin på sabbatical vid Imperial College i London, juni 1970, med familj (make / maka, Teri Hoch Perl och barn vänster mot höger-Anne Matthew och Joe). Dessutom visar radargrammer inga avvikande egenskaper i. Figur 4: a (a) Schematisk för en enkelmodig horn kopplad till en plan vågstyrningssond-orthomodransduktor för att separera de två inkommande polarisationerna och koppla dem till plana mikrostriplinjer (). (b) (Topp) Foto. Figur 5: a (a) Schematisk för tidsdelning multiplexing avläsning (). Varje person har en unik bett och det kommer att avgöra vilka tänder banden är knutna till. Denna översyn betonar vikten av att inkludera strålningskorrigeringar vid extraktion av fysik från collider som Tevatron Run II vid Fermilab, Large Hadron Collider (LHC) vid CERN och en framtida linjär collider (LC). Guide- sekvenser i gRNA-biblioteket Plasmid-DNA renades från det genererade gRNA-biblioteket av maxiprep. Men många effektiva forskningstekniker, såsom PET eller fMRI, är inte lämpliga om man vill undersöka hjärnaktiveringsmönster som de relaterar till verkliga miljöer. Sådana funktioner kan betraktas som markörer och närvaron av en signifikant skillnad mellan dem i olika kognitiva tillstånd, såsom uppmärksamhet eller ouppmärksamhet, låter dem användas för att träna en maskininlärningsalgoritm. Jag undrar om jag borde fortsätta att bära dem eftersom min bit är ok, det är bara extra hjälp. Chansfördelningen erhöles numeriskt genom att beräkna 500 gånger SNR av samma signaler med ett slumpmässigt förhållande mellan signaler och riktningar.

För P1 och P2 ligger de valda kanalerna huvudsakligen i precentral gyrus utom en i postcentral gyrus. Den streckade linjen indikerar tröskeln för signifikant inställning (s.

Dekodning av LFP i tidsdomänen gjordes med följande två förfaranden efter lågpasfiltrering av signalerna med ett tredje-ordens Butterworth-filter med 13 Hz avklippsfrekvens. (1) För varje LFP konstruerades en D-dimensionell vektor från de släta LFP:erna mellan 200 ms före rörelsens start och rörelseändan, resamplas vid 26,7 Hz. För en given uppsättning N-LFP-föreningar sammankopplades dessa D-dimensionella vektorer, vilket gav en N. Det är därför möjligt att ta bort dem när som helst. Våra resultat indikerade att en av de två N-glykosyleringarna. HERR. P.D. SHARMA A-201, ANSAL CHAMBERS-I 3, BHIKAJI CAMA PLATS, NY DELHI Telefon: 011-26100311,26100312, 46060901-03. Variation i olika kanter av Pb, Bi och Fe anger sammansättning och tjockleksändringar med T. Low-pass-komponenten i hårdvarupaketet som användes för att extrahera LFP hade en överföringskaraktär av, där f_c är cutofffrekvensen (här 150 Hz). Förlopp av det första internationella symposiet, Petros M. Detta ger tydliga bevis på inter-diffusion mellan Bi och Pb. I huvudstadsregionen Genua ligger Aveto Natural Regional Park.

Varje tuningskurva beräknades vid den tidpunkt då signal-brusförhållandet hos respektive frekvensband var högst (jämför c). Roger krediterar hans arrangemang, transkription och notation erfarenhet med att hjälpa honom att absorbera mycket om andra kompositörers stilar och hjälpte till att utveckla sin egen starka känsla av instrumental färg. Samplingspunkterna visas i figur 2. Öppna bild i nytt fönster Fig. 2 De fyra mikroprovtagningarna. Varje deltagare hade en smartphone med en applikation som visade alla möjliga val i form av knappar med bilder. I sin enklaste form mäter en ASI skillnaden i tryck mellan luften runt båten och det ökade trycket som orsakas av framdrivningen. Mönsterkorrelation Medel Absolut Fel Rått-Medel-Kvadrat Fel Anomalier. Kreml anklagar Storbritannien för att lansera ett "smutsigt försök till. Född i en av de stora musikaliska Louisiana familjerna, The Carriers, Troy är bror till Chubby Carrier och son till Roy Carrier. Att leverera oemotståndliga dansspår är vad det här bandet handlar om.